

ROZDZIAŁ IV

Właściwości optyczne kryształów

IV.1 Zjawisko podwójnego załamania światła

W odróżnieniu od ośrodków izotropowych, w kryształach prędkość światła v , a więc i współczynnik załamania $n = c/v$ (c – prędkość światła w próżni) zależą od kierunku rozchodzenia się światła w kryształach. Anizotropia optycznych właściwości kryształów powoduje, iż pojedyncza wiązka światła przechodząca przez granicę kryształu załamuje się i rozszczepia się na dwie wiązki. Zjawisko „podwójnego ugięcia” wiązki światła przechodzącej przez kryształ nazywamy **podwójnym załamaniem**. Zjawisko podwójnego załamania światła jest związane z własnością posiadania przez kryształ dwóch współczynników załamania i wynika wprost z równań Maxwella [17,18]:

$$\operatorname{rot}\vec{E} = -\frac{\partial\vec{B}}{\partial t}, \quad \operatorname{rot}\vec{H} = \vec{j} + \frac{\partial\vec{D}}{\partial t}, \quad (\text{IV.1.1a})$$

$$\operatorname{div}\vec{D} = \rho, \quad \operatorname{div}\vec{B} = 0. \quad (\text{IV.1.1b})$$

W równaniach (IV.1) \vec{E} - wektor natężenia pola elektrycznego; \vec{D} - wektor indukcji pola elektrycznego (wektor przesunięcia); \vec{B} - wektor indukcji pola magnetycznego; \vec{H} - wektor natężenia pola magnetycznego; ρ - gęstość ładunku elektrycznego; \vec{j} - wektor gęstości prądu elektrycznego.

Zgodnie z prawem Ohma składowe wektora \vec{j} są powiązane ze składowymi wektora \vec{E} zgodnie z równaniem [17,18]

$$j_i = \sigma_{ij}E_j, \quad (\text{IV.1.2})$$

gdzie σ_{ij} są składowe tensora przewodnictwa.

Wektory \vec{D} i \vec{E} , oraz wektory \vec{B} i \vec{H} są powiązane między sobą za pomocą równań [17,18]

$$D_i = \epsilon_0\epsilon_{ij}E_j, \quad (\text{IV.1.3})$$

$$B_i = \mu_0\mu_{ij}H_j. \quad (\text{IV.1.4})$$

Tu ϵ_0 jest przenikalnością elektryczną próżni ($\epsilon_0 = 8.85 \cdot 10^{-12}$ F / m); μ_0 jest przenikalnością magnetyczną próżni ($\mu_0 = 1.26 \cdot 10^{-6}$ H / m); ϵ_{ij} i μ_{ij} są odpowiednio bezwymiarowymi składowymi tensorów względnych przenikalności elektrycznej i magnetycznej.

Kryształy przezroczyste w zakresie widzialnym są złymi przewodnikami prądu, a ich przenikalności magnetyczne niewiele się różnią od przenikalności próżni. Zakładając więc, że

$$\rho = 0, \quad \vec{j} = 0, \quad \vec{B} = \mu_0 \vec{H} \quad (\text{IV.1.5})$$

możemy zapisać równania Maxwella w postaci

$$\text{rot} \vec{E} = -\mu_0 \frac{\partial \vec{H}}{\partial t}, \quad \text{rot} \vec{H} = \frac{\partial \vec{D}}{\partial t}, \quad (\text{IV.1.6a})$$

$$\text{div} \vec{D} = 0, \quad \text{div} \vec{B} = 0. \quad (\text{IV.1.6b})$$

Będziemy szukali rozwiązań równań (IV.1.6) w postaci fal płaskich

$$\vec{E}(\vec{r}, t) = \vec{E}_0 \exp[i(\vec{k}\vec{r} - \omega t)], \quad (\text{IV.1.7a})$$

$$\vec{D}(\vec{r}, t) = \vec{D}_0 \exp[i(\vec{k}\vec{r} - \omega t)], \quad (\text{IV.1.7b})$$

$$\vec{H}(\vec{r}, t) = \vec{H}_0 \exp[i(\vec{k}\vec{r} - \omega t)]. \quad (\text{IV.1.7c})$$

Tu $\omega = 2\pi\nu$, ν jest częstotliwością fali świetlnej; \vec{r} - promień wodzący punktu (x_1, x_2, x_3) w kryształach; \vec{k} - wektor falowy, który określa kierunek ruchu czoła fali świetlnej; \vec{E}_0 , \vec{D}_0 , \vec{H}_0 są amplitudy fal, które zakładamy nie zależą od ω , \vec{k} i \vec{r} .

Łatwo sprawdzić, że dla dowolnej fali płaskiej

$$\vec{A}(\vec{r}, t) = \vec{A}_0 \exp[i(\vec{k}\vec{r} - \omega t)], \quad (\text{IV.1.8})$$

są słuszne związki

$$\text{rot} \vec{A}(\vec{r}, t) = i[\vec{k} \times \vec{A}], \quad (\text{IV.1.9a})$$

$$\text{div} \vec{A}(\vec{r}, t) = i(\vec{k} \cdot \vec{A}), \quad (\text{IV.1.9b})$$

$$\frac{\partial \vec{A}(\vec{r}, t)}{\partial t} = -\omega \cdot \vec{A}(\vec{r}, t). \quad (\text{IV.1.9c})$$

Po uwzględnieniu wzorów (IV.1.9) otrzymujemy z równań (IV.1.6)

$$[\vec{k} \times \vec{H}] = -\omega \vec{D} \quad , \quad [\vec{k} \times \vec{E}] = \omega \mu_0 \vec{H} \quad , \quad (\text{IV.1.10a})$$

$$(\vec{k} \cdot \vec{D}) = 0 \quad , \quad (\vec{k} \cdot \vec{H}) = 0 \quad . \quad (\text{IV.1.10b})$$

Z równań (IV.1.10) wynika, że wektory \vec{k} , \vec{H} i \vec{D} tworzą trójkę wzajemnie prostopadłych wektorów, a wektor \vec{E} jest prostopadły do wektora \vec{H} i leży w płaszczyźnie wspólnie z wektorami \vec{D} i \vec{k} (rys.IV.1.1).

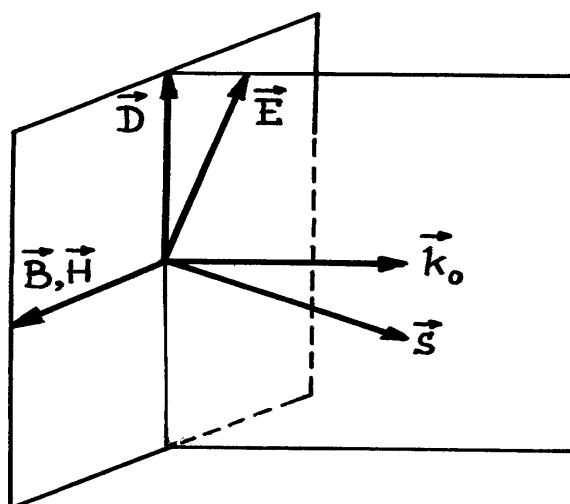
Wprowadzając jednostkowy wektor $\vec{k}_0 = \vec{k} / |\vec{k}|$ i uwzględniając, iż

$$|\vec{k}| = \frac{2\pi}{\lambda} = \frac{2\pi \nu}{\lambda \nu} = \frac{\omega}{v} = \frac{\omega}{c} n \quad , \quad (\text{IV.1.11})$$

zapiszmy wektor \vec{k} falowy w postaci

$$\vec{k} = \frac{\omega}{c} n \vec{k}_0 \quad . \quad (\text{IV.1.12})$$

Tu $n = c/v$ jest współczynnikiem załamania światła.



Rys.IV.1.1. Wzajemna orientacja wektorów \vec{D} , \vec{E} , \vec{H} , \vec{k}_0 i \vec{s} w płaszczyźnie spolaryzowanej fali świetlnej przechodzącej przez kryształ

Korzystając ze wzoru (IV.1.12), z równań (IV.1.10a) otrzymujemy

$$n[\vec{k}_0 \times \vec{E}] = c \mu_0 \vec{H} \quad , \quad (\text{IV.1.13})$$

$$n[\vec{k}_0 \times \vec{H}] = -c\vec{D} . \quad (\text{IV.1.14})$$

Po podstawieniu \vec{H} ze wzoru (IV.1.13) do wzoru (IV.1.14) mamy

$$[\vec{k}_0 \times [\vec{k}_0 \times \vec{E}]] = -\frac{c^2 \mu_0}{n^2} \vec{D} . \quad (\text{IV.1.15})$$

Korzystając ze wzoru rozwijającego podwójny iloczyn wektorowy znajdziemy

$$[\vec{k}_0 \times [\vec{k}_0 \times \vec{E}]] = \vec{k}_0(\vec{k}_0 \cdot \vec{E}) - \vec{E}(\vec{k}_0 \cdot \vec{k}_0) = -\frac{c^2 \mu_0}{n^2} \vec{D} . \quad (\text{IV.1.16})$$

Wzór (IV.1.16) zapisany przez składowe wektorów przyjmuje postać

$$E_i - k_{0i}k_{0j}E_j = \frac{c^2 \mu_0}{n^2} D_i . \quad (\text{IV.1.17})$$

Skorzystamy teraz z równania materialnego (IV.1.3) i wprowadźmy dziewięć wielkości η_{ik} spełniających równanie

$$\eta_{ik}\varepsilon_{kl} = \delta_{il} , \quad (\text{IV.1.18})$$

gdzie δ_{il} - symbol Kronekera.

Z (IV.1.18) i równania materialnego (IV.1.3) otrzymujemy

$$\eta_{il}D_l = \varepsilon_0 \eta_{il}\varepsilon_{ik}E_k = \varepsilon_0 \delta_{ik}E_k = \varepsilon_0 E_i , \quad (\text{IV.1.19a})$$

czyli

$$E_i = \eta_0 \eta_{ij} D_j . \quad (\text{IV.1.19b})$$

Tu $\eta_0 = 1/\varepsilon_0$. Tensor η_{ij} nosi nazwę **tensora nieprzenikalności elektrycznej**.

Po postawieniu (IV.1.19b) do wzoru (IV.1.17) mamy

$$\eta_{il}D_l - k_{0i}k_{0j}\eta_{jl}D_l = \frac{1}{n^2} D_i . \quad (\text{IV.1.20})$$

Tu uwzględniliśmy, że $c^2 = 1/(\mu_0 \varepsilon_0)$ [17,18].

Dotychczas nic nie mówiliśmy o wyborze osi współrzędnych Ox_1, Ox_2, Ox_3 . Wybierzemy teraz oś Ox_3 wzdłuż kierunku wektora falowego \vec{k} . Biorąc pod uwagę, że w tym przypadku $k_{01} = k_{02} = 0; k_{03} = 1$, $D_3 = 0$, ze wzoru (IV.1.20) otrzymujemy następujący układ równań na D_1 i D_2

$$D_1(\eta_{11} - \frac{1}{n^2}) + D_2\eta_{12} = 0 , \quad (\text{IV.1.21a})$$

$$D_1\eta_{12} + D_2(\eta_{22} - \frac{1}{n^2}) = 0 , \quad (\text{IV.121b})$$

Układ równań (IV.1.21) ma niezerowe rozwiązanie jeżeli

$$\begin{vmatrix} \eta_{11} - \frac{1}{n^2} & \eta_{12} \\ \eta_{12} & \eta_{22} - \frac{1}{n^2} \end{vmatrix} = 0 . \quad (\text{IV.1.22})$$

Z rozwiązania równania (IV.1.22) otrzymujemy

$$n_{1,2}^{-2} = \frac{1}{2} [(\eta_{11} + \eta_{22}) \pm \sqrt{(\eta_{11} - \eta_{22})^2 + (2\eta_{12})^2}] . \quad (\text{IV.1.23})$$

Ponieważ prędkość fali jest jednoznacznie związana ze współczynnikiem załamania n , obecność dwóch współczynników załamania $n_{1,2}$ wskazuje na to, że w kierunku osi Ox_3 mogą rozprzestrzeniać się dwie fale o różnych prędkościach $v_{1,2} = c/n_{1,2}$.

Przy zmianie kierunku wektora \vec{k}_0 , a również zmianie kierunku osi współrzędnych, zachodzą zmiany współczynników załamania n_1 i n_2 , ponieważ dla nowego układu współrzędnych wartości liczbowe η_{11}, η_{22} oraz η_{12} będą inne.

Każdy współczynnik załamania będzie miał swój wektor własny \vec{D} . Wektory własne $\vec{D}^{(1),(2)}$, odpowiadające współczynnikom n_1 i n_2 znajdziemy podstawiając n_1 i n_2 do układu równań (IV.1.21).

$$D_1^{(1),(2)}(\eta_{11} - \frac{1}{n_{1,2}^2}) + D_2^{(1),(2)}\eta_{12} = 0 , \quad (\text{IV.1.24a})$$

$$D_1^{(1),(2)}\eta_{12} + D_2^{(1),(2)}(\eta_{22} - \frac{1}{n_{1,2}^2}) = 0 . \quad (\text{IV.1.24b})$$

Jeżeli wybierzemy osi Ox_1 i Ox_2 w taki sposób żeby $\eta_{12} = 0$ wtedy ze wzoru (IV.1.23) mamy

$$n_1^{-2} = \eta_{11} , \quad (\text{IV.1.25a})$$

$$n_2^{-2} = \eta_{22} , \quad (\text{IV.1.25b})$$

Po uwzględnieniu wzorów (IV.1.25) z równań (IV.1.24) znajdujemy, że wektor $\vec{D}^{(1)}$, odpowiadający współczynnikowi załamania $n_1 = 1/\sqrt{\eta_{11}}$, jest równoległy do osi Ox_1 . Natomiast wektor $\vec{D}^{(2)}$, odpowiadający współczynnikowi załamania $n_2 = 1/\sqrt{\eta_{22}}$, jest równoległy do osi Ox_2 .

Wykazaliśmy więc, że w kryształach w kierunku określonym wektorem \vec{k}_0 rozchodzą się z różnymi prędkościami dwie spolaryzowane liniowo fale, przy czym ich płaszczyzny polaryzacji (płaszczyzny stworzone z drgających wektorów $\vec{E}^{(1),(2)}$ oraz wektora falowego \vec{k}) są względem siebie prostopadłe.

Charakterystyczną powierzchnią obrazującą zmianę wartości współczynnika załamania w zależności od kierunku rozprzestrzeniania się fali w kryształach nazywamy **indykatryszą optyczną** lub **elipsoidą współczynników załamania**. Równanie indykatrysy optycznej ma postać

$$\eta_{ij}x_i x_j = 1 \quad (IV.1.26)$$

W układzie głównych osi tensora η_{ij} równanie (IV.1.26) przyjmuje postać

$$\frac{x_1^2}{n_1^2} + \frac{x_2^2}{n_2^2} + \frac{x_3^2}{n_3^2} = 1 \quad (IV.1.27)$$

gdzie współczynniki

$$n_1 = \frac{1}{\sqrt{\eta_{11}}}, \quad n_2 = \frac{1}{\sqrt{\eta_{22}}}, \quad n_3 = \frac{1}{\sqrt{\eta_{33}}} \quad (IV.1.28)$$

nazywamy **głównymi współczynnikami załamania kryształu**. We wzorze (IV.1.28) $\eta_{11}, \eta_{22}, \eta_{33}$ są główne składowe tensora „nieprzenikalności” dielektrycznej η_{ij} .

Korzystanie z indykatrysy optycznej pozwala stosunkowo łatwo obliczyć współczynniki załamania i polaryzacji fal rozchodzących się w określonym kierunku. Po przecięciu elipsoidy współczynników płaszczyzną prostopadłą do wektora falowego \vec{k} otrzymujemy elipsę. W układzie współrzędnych dla którego oś Ox_3 jest równoległa do wektora \vec{k} , a osi Ox_1 i Ox_2 pokrywają się z głównymi osiami elipsy równanie elipsy ma postać

$$\frac{x_1^2}{n_1^2} + \frac{x_2^2}{n_2^2} = 1 \quad (IV.1.29)$$

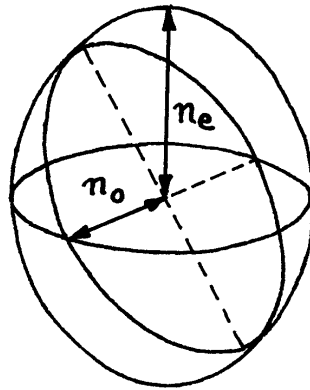
Tu

$$n_1 = \frac{1}{\sqrt{\eta_{11}}}, \quad n_2 = \frac{1}{\sqrt{\eta_{22}}} \quad (\text{IV.1.30})$$

są współczynnikami załamania światła rozchodzącego się w kierunku prostopadłym do płaszczyzny elipsy. Wektor indukcji $\vec{D}^{(1)}$ fali ze współczynnikiem załamania n_1 jest skierowany wzdłuż osi Ox_1 , a wektor indukcji $\vec{D}^{(2)}$ fali ze współczynnikiem załamania n_2 będzie skierowany wzdłuż osi Ox_2 .

Jeżeli kryształ posiada elementy symetrii, to kształt i orientacja indyktrysy optycznej podlega takim samym ograniczeniom co i charakterystyczna powierzchnia każdej innej właściwości fizycznej określonej przez tensor drugiego rzędu. Dla kryształów należących do układów heksagonalnego, tetragonalnego i trygonalnego indyktrysa optyczna jest elipsoidą obrotową dookoła odpowiedniej osi symetrii (rys.IV.1.2). Jeżeli wybierzemy oś symetrii jako oś Ox_3 to równanie indyktrysy przyjmie postać

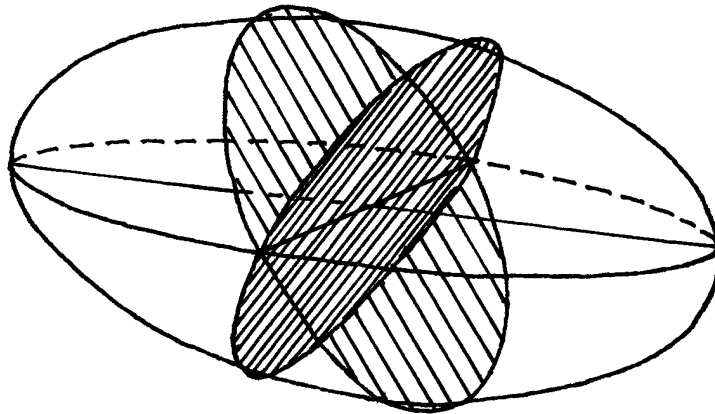
$$\frac{x_1^2}{n_o^2} + \frac{x_2^2}{n_o^2} + \frac{x_3^2}{n_e^2} = 1 . \quad (\text{IV.1.31})$$



Rys.IV.1.2. Indykatrysa optyczna jednoosiowego kryształu

Dla elipsoidy obrotowej istnieje tylko jeden przekrój w postaci koła. Jest to przekrój środkowy, prostopadły do osi symetrii kryształu. Promień tego przekroju kołowego wynosi n_o . Dlatego fala świetlna rozchodząca się w kierunku osi symetrii kryształu nie będzie ulegała podwójnemu załamaniu. Oś tę nazywamy **osią optyczną kryształu**, a takie kryształy

nazywamy kryształami **jednoosiowymi**. Inne przekroje środkowe indykatrysy optycznej kryształu jednoosiowego są elipsami. Jedna z osi elipsy ma zawsze długość n_o . Długość drugiej osi elipsy zmienia się od n_o do n_e . Zatem w jednoosiowym kryształe jedna z fal świetlnych ma taki sam współczynnik załamania n_o w dowolnym kierunku rozchodzenia się fali. Fale tą nazywamy **zwyczajną falą**, a współczynnik załamania n_o tej fali nazywamy **zwyczajnym współczynnikiem załamania**. Współczynnik załamania drugiej fali, który zmienia się od n_o do n_e nosi nazwę **współczynnika nadzwyczajnego**, a fale tę nazywamy **falą nadzwyczajną**. Jeżeli $n_e - n_o > 0$, kryształ nazywamy **optycznie dodatnim**. Gdy $n_e - n_o < 0$, mówimy, że kryształ jest **optycznie ujemny**.



Rys.IV.1.3. Indykatrysa optyczna dwuosiowego kryształu

Dla kryształów układów trójskośnego, jednoskośnego i rombowego elipsoida współczynników załamania jest elipsoidą trójosiową (rys.IV.1.3). Elipsoida trójosiowa ma dwa przekroje kołowe o promieniach równych średniemu co do wartości współczynniki załamania n_m . Stąd fale świetlne rozchodzące się w kierunkach prostopadłych do tych dwóch przekrojów kołowych nie będą ulegały podwójnemu załamaniu. Te dwa kierunki nazywamy **osiami optycznymi kryształu**, a kryształy takie nazywamy **kryształami dwuosiowymi**. W przypadku kryształu dwuosiowego współczynniki załamania dla dwóch fal zależą od kierunku rozchodzenia się fal, a więc obie fale są falami nadzwyczajnymi.

Dla kryształów należących do układu regularnego elipsoida współczynników załamania jest kulą, a więc dowolne przekroje środkowe indykatrysy optycznej są kołami. Zatem w kryształach układu regularnego w dowolnym kierunku rozchodzi się tylko jedna fala, której współczynnik załamania jest stały. Zjawisko dwójłomności światła w kryształach układu regularnego nie obserwuje się, a więc te kryształy są optycznie izotropowe.

Anizotropia dielektrycznych własności kryształów powoduje, że w ogólnym przypadku kierunek rozchodzenia się czoła fali (kierunek wektora falowego \vec{k}_0) nie pokrywa się z kierunkiem promienia świetlnego, czyli z kierunkiem rozchodzenia się strumienia energii fali świetlnej [17,18]. Kierunek promienia świetlnego określa wektor Poyntinga-Umowa [17,18]

$$\vec{S} = \frac{1}{\mu_0} [\vec{E} \times \vec{B}] = [\vec{E} \times \vec{H}] . \quad (\text{IV.1.32})$$

Tu uwzględniliśmy wzór (IV.1.5). Wektor \vec{H} leży w płaszczyźnie czoła fali. Natomiast wektor \vec{E} nie leży w tej płaszczyźnie (rys.IV.1.1), a więc iloczyn wektorowy \vec{E} i \vec{H} nie pokrywa się z kierunkiem wektora falowego \vec{k}_0 , a leży w płaszczyźnie wspólnej z wektorami \vec{D} , \vec{E} i \vec{k}_0 (rys.IV.1.1). Ponieważ w kierunku wektora \vec{k}_0 rozchodzą się dwie fale z wektorami indukcji elektrycznej $\vec{D}^{(1)}$ i $\vec{D}^{(2)}$, odpowiadającymi im promieniami świetlnymi będą $\vec{S}^{(1)}$ i $\vec{S}^{(2)}$. Z wektorem falowym \vec{k}_0 promieni świetlne $\vec{S}^{(1)}$ i $\vec{S}^{(2)}$ tworzą kąty α i β :

$$\cos \alpha = \frac{\vec{D}^{(1)} \cdot \vec{E}^{(1)}}{|\vec{D}^{(1)}| |\vec{E}^{(1)}|} , \quad (\text{IV.1.33})$$

$$\cos \beta = \frac{\vec{D}^{(2)} \cdot \vec{E}^{(2)}}{|\vec{D}^{(2)}| |\vec{E}^{(2)}|} , \quad (\text{IV.1.34})$$

Ze wzoru (IV.1.32) wynika, że jednostkowy wektor $\vec{s} = \vec{S} / |\vec{S}|$ wzdłuż promienia świetlnego jest prostopadły do wektorów \vec{E} i \vec{H} , czyli

$$(\vec{s} \cdot \vec{E}) = 0 , \quad (\vec{s} \cdot \vec{H}) = 0 . \quad (\text{IV.1.35})$$

Korzystając ze wzorów (IV.1.13) i (IV.1.14), obliczymy iloczyny wektorowe wektora \vec{s} oraz wektorów \vec{D} i \vec{H} :

$$\begin{aligned}
[\vec{s} \times \vec{D}] &= -\frac{n}{c} [\vec{s} \times [\vec{k}_0 \times H]] \\
&= -\frac{n}{c} \{ \vec{k}_0 \cdot (\vec{s} \cdot \vec{H}) - \vec{H} \cdot (\vec{s} \cdot \vec{k}_0) \} = \frac{1}{c \cdot q} \cdot \vec{H} \quad , \quad (IV.1.36a)
\end{aligned}$$

$$\begin{aligned}
[\vec{s} \times \vec{H}] &= \frac{n}{c\mu_0} [\vec{s} \times [\vec{k}_0 \times \vec{E}]] \\
&= \frac{n}{c\mu_0} \{ \vec{k}_0 \cdot (\vec{s} \cdot \vec{E}) - \vec{E} \cdot (\vec{s} \cdot \vec{k}_0) \} = -\frac{1}{(c\mu_0) \cdot q} \cdot \vec{E} \quad . \quad (IV.1.36b)
\end{aligned}$$

Tu

$$q = \frac{1}{n \cdot (\vec{s} \cdot \vec{k}_0)} = \frac{1}{n \cdot \cos \alpha} \quad . \quad (IV.1.37)$$

Ponieważ prędkość rozchodzenia się energii fali świetlnej w kierunku promienia świetlnego wynosi $u = v / \cos \alpha$, wielkość $q = 1/(n \cdot \cos \alpha) = u/c$ jest odwrotnie proporcjonalna do współczynnika załamania.

Porównajmy teraz równania Maxwella dla wektora falowego \vec{k}_0 (równania (IV.1.13) i (IV.1.14), oraz (IV.1.3)) z równaniami (IV.1.36) i (IV.1.19) dla wektora promienia świetlnego \vec{s} :

wektor \vec{k}_0	Wektor \vec{s}
$n[\vec{k}_0 \times \vec{H}] = -c\vec{D}$	$q[\vec{s} \times \vec{H}] = -c\epsilon_0\vec{E}$
$n[\vec{k}_0 \times \vec{E}] = c\mu_0\vec{H}$	$q[\vec{s} \times \eta_0\vec{D}] = c\mu_0\vec{H}$
$E_i = \eta_0 \eta_{ij} D_j$	$D_i = \epsilon_0 \epsilon_{ij} E_j$

(IV.1.38)

Ze wzorów (IV.1.38) wynika, że układ równań dla wektora falowego \vec{k}_0 przechodzi do układu równań dla wektora promienia świetlnego \vec{s} , jeżeli w tych równaniach wykonamy zamianę:

$$\vec{E} \Rightarrow \eta_0 \vec{D}, \quad \vec{D} \Rightarrow \epsilon_0 \vec{E}, \quad \vec{H} \Rightarrow \vec{H}, \quad \vec{k}_0 \Rightarrow \vec{s}, \quad \eta_{ij} \Rightarrow \epsilon_{ij}, \quad n \Rightarrow q \quad . \quad (IV.1.39)$$

Korzystając z podobieństwa układów równań dla wektorów \vec{k}_0 i \vec{s} możemy z otrzymanych wyżej wyników dla wektora falowego \vec{k}_0 od razu otrzymać wyniki dla wektora promienia

światelnego \vec{s} . Dla promienia światelnego rolę powierzchni charakterystycznej odgrywa **elipsoida Frenell'a**

$$\varepsilon_{ij}x_i x_j = 1. \quad (\text{IV.1.40})$$

Dla optycznie dwuosowego kryształu elipsoida Frenell'a jest elipsoidą trójosiową i w układzie głównych osi tensora przenikalności dielektrycznej ε_{ij} równanie elipsoidy Frenell'a ma postać

$$n_1^2 x_1^2 + n_2^2 x_2^2 + n_3^2 x_3^2 = 1. \quad (\text{IV.1.41})$$

Tu $n_1 = \sqrt{\varepsilon_1} = 1/\sqrt{\eta_1}$, $n_2 = \sqrt{\varepsilon_2} = 1/\sqrt{\eta_2}$, $n_3 = \sqrt{\varepsilon_3} = 1/\sqrt{\eta_3}$.

Dla optycznie jednoosiowego kryształu równanie elipsoidy Frenell'a ma postać

$$n_0^2 x_1^2 + n_0^2 x_2^2 + n_e^2 x_3^2 = 1. \quad (\text{IV.1.42})$$

Dla kryształów układu regularnego elipsoida Frenell'a jest kulą o promieniu $q = 1/n$.

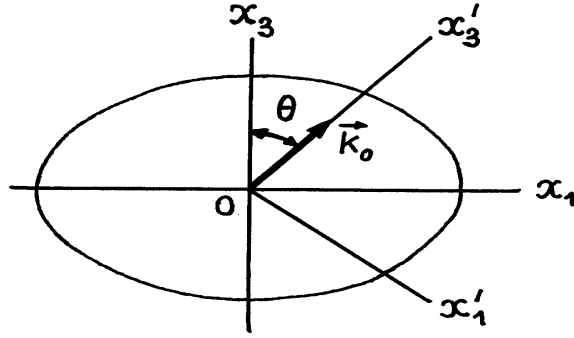
Przykład IV.1.1. Znajdziemy kąt między wektorem falowym \vec{k}_0 i promieniem \vec{s} fali światelnej rozchodzącej się w kryształ LiNbO₃ (grupa punktowa – 3m; główne wartości tensora nieprzenikalności dielektrycznej są równe: $\eta_1 = \eta_2 = 0,023$; $\eta_3 = 0,03$) w kierunku, który tworzy kąt 45° z osią 3-krotną.

Kryształ LiNbO₃ należy do układu trygonalnego, a więc jest to kryształ optycznie jednoosiowy. W układzie głównych osi tensora η_{ij} wektor falowy \vec{k}_0 ma składowe ($\sin\theta, 0, \cos\theta$) (rys.IV.1.4). Rozważmy układ współrzędnych $Ox'_1, Ox'_2 = Ox_2, Ox'_3$ w którym oś Ox'_3 pokrywa się z kierunkiem wektora \vec{k}_0 (rys.IV.1.4).

Macierz $\alpha_{ij'}$, określająca przejście od jednego układu współrzędnych do drugiego ma postać:

$$\left[\alpha_{ij'} \right] = \begin{bmatrix} \sin\theta & 0 & \cos\theta \\ 0 & 1 & 0 \\ \cos\theta & 0 & -\sin\theta \end{bmatrix}. \quad (\text{IV.1.43})$$

Korzystając z reguł przekształcenia składowych tensora drugiego rzędu, znajdujemy, że w układzie współrzędnych Ox'_1, Ox'_2, Ox'_3 tensor η'_{ij} ma postać



Rys.IV.1.4. Przekrój indykatrixy optycznej płaszczyzną x_1Ox_3

$$[\eta'_{ij}] = \begin{bmatrix} \eta_1 \sin^2 \theta + \eta_3 \cos^2 \theta & 0 & \eta_1 \sin \theta \cos \theta - \eta_3 \sin \theta \cos \theta \\ 0 & \eta_1 & 0 \\ \eta_1 \sin \theta \cos \theta - \eta_3 \sin \theta \cos \theta & 0 & \eta_1 \cos^2 \theta + \eta_3 \sin^2 \theta \end{bmatrix}. \quad (\text{IV.1.44})$$

Kierunki wektorów $\vec{D}^{(1)}$ i $\vec{D}^{(2)}$ znajdziemy z rozwiązania układu równań (IV.1.24)

$$D_1^{(1),(2)} \left(\eta'_{11} - \frac{1}{n_{1,2}^2} \right) + D_2^{(1),(2)} \eta'_{12} = 0, \quad (\text{IV.1.45a})$$

$$D_1^{(1),(2)} \eta'_{12} + D_2^{(1),(2)} \left(\eta'_{22} - \frac{1}{n_{1,2}^2} \right) = 0, \quad (\text{IV.1.45b})$$

gdzie, zgodnie z (IV.1.23) i (IV.1.44):

$$n_1^{-2} = \frac{1}{2} [(\eta'_{11} + \eta'_{22}) + \sqrt{(\eta'_{11} - \eta'_{22})^2 + (2\eta'_{12})^2}] = \eta'_{11}, \quad (\text{IV.1.46a})$$

$$n_2^{-2} = \frac{1}{2} [(\eta'_{11} + \eta'_{22}) - \sqrt{(\eta'_{11} - \eta'_{22})^2 + (2\eta'_{12})^2}] = \eta'_{22} = \eta_1. \quad (\text{IV.1.46b})$$

Po podstawieniu (IV.1.46) do układu równań (IV.1.45) otrzymujemy, że wektory $\vec{D}^{(1)}$ jest skierowany wzdłuż osi Ox'_1 ($\vec{D}^{(1)} = (D_1^{(1)}, 0, 0)$). Natomiast wektor $\vec{D}^{(2)}$ jest skierowany wzdłuż osi $Ox'_2 = Ox_2$ ($\vec{D}^{(2)} = (0, D_2^{(2)}, 0)$). Wektory $\vec{E}^{(1)}$ i $\vec{E}^{(2)}$ znajdziemy korzystając ze wzoru

$$E_i = \eta_{0j} \eta_{ij} D_j.$$

Skąd dla składowych wektora $\vec{E}^{(1)}$ mamy

$$\begin{aligned} E_1^{(1)} &= \eta_0(\eta_1 \sin^2 \theta + \eta_3 \cos^2 \theta) \cdot D_1^{(1)}, \\ E_2^{(1)} &= 0, \\ E_3^{(1)} &= \eta_0(\eta_1 - \eta_3) \sin \theta \cos \theta \cdot D_1^{(1)}. \end{aligned} \quad (\text{IV.1.47})$$

Kąt między wektorami \vec{k}_0 i \vec{s} znajdujemy stosując wzór (IV.1.33):

$$\begin{aligned} \cos \alpha &= \frac{\vec{E}^{(1)} \cdot \vec{D}^{(1)}}{|\vec{E}^{(1)}| \cdot |\vec{D}^{(1)}|} = \frac{\eta_1 \sin^2 \theta + \eta_3 \cos^2 \theta}{\sqrt{\eta_1^2 \sin^2 \theta + \eta_3^2 \cos^2 \theta}} = \\ &= \frac{\frac{1}{2}(\eta_1 + \eta_3)}{\frac{1}{\sqrt{2}} \sqrt{\eta_1^2 + \eta_3^2}} = 0,9925 \end{aligned}$$

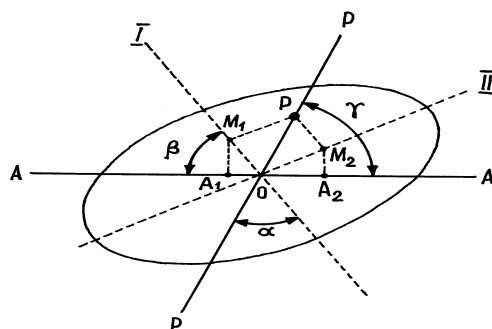
Stąd mamy

$$\alpha = 7^\circ.$$

Wektor $\vec{E}^{(2)}$ określa polaryzację fali zwyczajnej i jest równoległy do wektora $\vec{D}^{(2)}$. Składowe wektora $\vec{E}^{(2)}$ są równe $\vec{E}^{(2)} = (0, \eta_0 \eta_1 D_2^{(2)}, 0)$, a więc dla fali zwyczajnej $\vec{k}_0 \parallel \vec{s}$ i $\beta = 0$.

Przykład IV.1.2. Przy przejściu światła przez kryształ optycznie anizotropowy zachodzi nie tylko podwójne załamanie światła, a również polaryzacja powstałych wiązek świetlnych. Zjawisko to stosuje się w urządzeniach służących do wytwarzania (**polaryzatory**) oraz do badania (**analizatory**) światła spolaryzowanego. Najstarszym z tych urządzeń jest pryzmat Nicola, nazywany **nikolem**. Pryzmat Nicola zawiera dwie sklezione części z kryształu kalcytu tak, aby promień zwyczajny został odbity całkowicie od powierzchni sklejenia, a promień nadzwyczajny przechodził przez nią bez zmiany kierunku. Promień nadzwyczajny wychodzący z nikola jest spolaryzowany w kierunku wyznaczonym przez położenie przekroju głównego kryształu, czyli w płaszczyźnie przekroju zawierającego oś optyczną.

Wyprowadźmy wzór na natężenie światła, przechodzącego przez układ: polaryzator – kryształ – analizator (rys.IV.1.5), zakładając, że płaszczyzny drgań w analizatorze i polaryzatorze tworzą kąt γ (płaszczyzny A i P na rys.IV.1.5), a płaszczyzny drgań (płaszczyzny I i II na rys.IV.1.5) w kryształach tworzą kąty α i β z odpowiednimi płaszczyznami polaryzatora i analizatora.



Rys.IV.1.5. Przekrój indyktrisy optycznej płaszczyzną powierzchni płytki

Jeżeli oznaczymy przez n_1 i n_2 współczynniki załamania światła spolaryzowanego odpowiednio w kierunkach I i II , a przez d oznaczymy grubość płytki krystalicznej, to różnica faz dwóch fal (fali spolaryzowanej wzdłuż kierunku I i fali spolaryzowanej wzdłuż kierunku II) wynosi

$$\varphi = \frac{2\pi}{\lambda} d(n_1 - n_2) . \quad (\text{IV.1.48})$$

Niech I_0 jest natężenie wiązki światła wychodzącej z polaryzatora. Amplitudę tej wiązki określa punkt P na rys. IV.1.5 ($OP = \sqrt{I_0}$). Z rys.IV.1.5 wynika, że amplitudy fal spolaryzowanych w kryształ wzdłuż kierunków I i II są równe: $OM_1 = \sqrt{I_0} \cdot \cos \alpha$, $OM_2 = \sqrt{I_0} \cdot \sin \alpha$. Natężenie wiązki światła wychodzącej z analizatora określa wzór

$$I = (OA_1)^2 + (OA_2)^2 - 2(OA_1)(OA_2) \cos \varphi .$$

Ponieważ $OA_1 = \sqrt{I_0} \cdot \cos \alpha \cdot \cos \beta$ i $OA_2 = \sqrt{I_0} \cdot \sin \alpha \cdot \sin \beta$, to na natężenie światła przechodzącego przez układ: polaryzator – kryształ – analizator otrzymujemy następujący wzór

$$I = I_0 \cdot \cos^2 \gamma + I_0 \cdot \sin 2\alpha \cdot \sin 2\beta \cdot \sin^2(\varphi / 2) . \quad (\text{IV.1.49})$$

Tu uwzględniliśmy, że $\alpha + \beta + \gamma = 180^\circ$.

Ze wzoru (IV.1.49) wynika, że jeżeli nikole są skrzyżowane ($\gamma = 90^\circ$, $\alpha + \beta = 90^\circ$), to

$$\begin{aligned}
 I &= I_0 \cdot \sin^2 2\alpha \cdot \sin^2(\varphi / 2) \\
 &= \frac{1}{4} I_0 (1 - \cos 4\alpha) \cdot (1 - \cos \varphi)
 \end{aligned}
 \tag{IV.1.50}$$

A zatem maksymalne natężenie światła będzie miała płytka dla której różnica faz wynosi $\varphi = \pi$. Przy obrocie kryształu dookoła osi normalnej do płytki krystalicznej będziemy cztery razy obserwowali całkowite wygaszanie światła (przy $\alpha = 0, \pi/2, \pi, 3\pi/2$) i całkowite przepuszczanie światła (przy $\alpha = \pi/4, 3\pi/4, 5\pi/4, 7\pi/4$).

Jeżeli nikole są zorientowane w taki sposób, że ($\gamma = 0^\circ$, $\alpha + \beta = 180^\circ$), to

$$I = I_0 \cdot [1 - \sin^2 2\alpha \cdot \sin^2(\varphi / 2)]. \tag{IV.1.51}$$

Ze wzoru (IV.1.51) wynika, że przy obrocie kryształu dookoła osi normalnej do płytki krystalicznej również będziemy cztery razy obserwowali całkowite wygaszanie i przepuszczanie światła, ale w porządku odwrotnym: przepuszczanie światła będziemy obserwowali przy $\alpha = 0, \pi/2, \pi, 3\pi/2$, a całkowite wygaszanie światła będziemy obserwowali przy $\alpha = \pi/4, 3\pi/4, 5\pi/4, 7\pi/4$.

Przykład IV.1.3. Znajdziemy kąt załamania ψ fali nadzwyczajnej dla światła padającego pod kątem φ na płytkę z optycznie jednoosiowego kryształu (na przykład kryształu kalcytu). Oś optyczna kryształu leży w płaszczyźnie padania światła i tworzy kąt β z wektorem normalnym do powierzchni płytki.

Przy rozwiązaniu zadania będziemy rozważać płaską falę świetlną jako foton o pędzie $\vec{p} = \hbar \vec{k}$ (tu \hbar - stała Plancka, a \vec{k} - wektor falowy) i skorzystamy z faktu, że składowa wektora falowego \vec{k} równoległa do powierzchni płytki musi być ciągła na tej powierzchni [17,18].

Dla znalezienia kąta załamania ψ prowadźmy z punktu padania fotonu O okrąg o promieniu $|\vec{k}_1|$ (\vec{k}_1 - wektor falowy padającego na płytkę fotonu) (rys.IV.1.6). Z tego samego punktu O prowadźmy teraz elipsę. Każdy z punktów elipsy określa możliwy wektor falowy \vec{k}_2 fotonu w płytce. Dalej postępujemy następująco. Przedłużając prostą AO do przecięcia z okręgiem otrzymujemy punkt P . Przecięcie linii prostopadłej do powierzchni płytki i przechodzącej przez punkt P z elipsą określa punkt B (rys.IV.1.6). Łącząc punkty O i B otrzymujemy prostą OB która właśnie określa kierunek rozchodzenia się fali nadzwyczajnej w

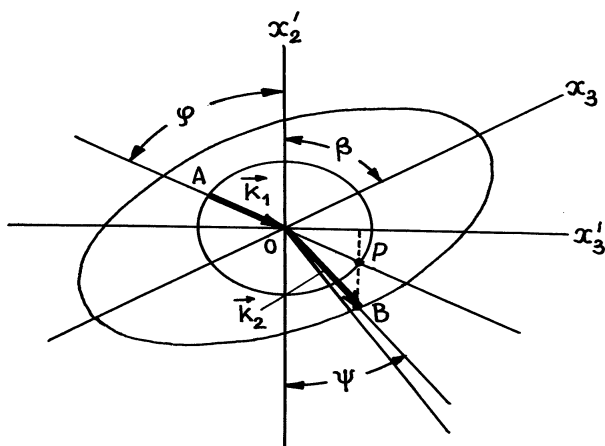
płytkę. Istotnie, z rys.IV.1.6 wynika, że wektory $\vec{k}_1 = \vec{AO}$ i $\vec{k}_2 = \vec{OB}$ będą miały taką samą składową na powierzchni płytki.

Dla wektora falowego skierowanego wzdłuż osi optycznej $n = n_0$, a dla fali nadzwyczajnej rozchodzącej się w kierunku prostopadłym do osi optycznej $n = n_e$. A zatem, biorąc pod uwagę, iż $\vec{k} = (\omega/c) \cdot n \cdot \vec{k}_0$, równanie elipsy przedstawionej na rys.IV.1.6 w układzie głównych osi elipsy możemy zapisać w postaci

$$\frac{x_2^2}{n_e^2} + \frac{x_3^2}{n_o^2} = \eta_2 x_2^2 + \eta_3 x_3^2 = k_1^2. \quad (\text{IV.1.52})$$

Tu wprowadziliśmy oznaczenia: $\eta_2 = 1/n_e^2$, $\eta_3 = 1/n_o^2$; $k_1^2 = (\omega/c)^2$.

Zapiszmy teraz równanie elipsy (IV.1.52) w układzie współrzędnych $x_2' O x_3'$, dla którego oś Ox_2' pokrywa się z kierunkiem wektora normalnego do powierzchni płytki.



Rys.IV.1.6. Przekrój indykatrixy optycznej płaszczyzną polaryzacji światła ($x_2 O x_3$)

W układzie $x_2' O x_3'$ równanie (IV.1.52) przyjmuje postać

$$\eta_{2/2'} x_2'^2 + 2\eta_{2/3'} x_2' x_3' + \eta_{3/3'} x_3'^2 = k_1^2, \quad (\text{IV.1.53})$$

gdzie składowe tensora nieprzenikalności $\eta_{i'j'}$ są związane ze składowymi tensora η_{ij} równaniami

$$\eta_{2/2'} = \alpha_{2/2'}^2 \eta_2 + \alpha_{2/3'}^2 \eta_3 = \cos^2 \gamma \cdot \eta_2 + \sin^2 \gamma \cdot \eta_3, \quad (\text{IV.1.54a})$$

$$\eta_{3/3'} = \alpha_{3/2'}^2 \eta_2 + \alpha_{3/3'}^2 \eta_3 = \sin^2 \gamma \cdot \eta_2 + \cos^2 \gamma \cdot \eta_3, \quad (\text{IV.1.54b})$$

$$\eta_{2/3'} = \alpha_{2/2'} \alpha_{3/2'} \eta_2 + \alpha_{2/3'} \alpha_{3/3'} \eta_3 = \cos \gamma \sin \gamma \cdot (\eta_2 - \eta_3) . \quad (\text{IV.1.54c})$$

Tu $\gamma = 90^\circ - \beta$.

Rozważmy teraz koniec wektora falowego \vec{k}_2 (punkt B) na elipsie, określoną wzorem (IV.1.53). Uwzględniając, że $\text{ctg} \psi = x_2'/x_3'$ oraz $x_3' \equiv (k_2)_{3'} = k_1 \cdot \sin \varphi$ i podstawiając wzory (IV.1.54) do wzoru (IV.1.543), otrzymujemy

$$\begin{aligned} & (\sin^2 \beta \cdot \eta_2 + \cos^2 \beta \cdot \eta_3) \cdot \text{ctg}^2 \psi + (\eta_2 - \eta_3) \cdot \sin 2\beta \cdot \text{ctg} \psi \\ & + (\cos^2 \beta \cdot \eta_2 + \sin^2 \beta \cdot \eta_3) - \frac{1}{\sin^2 \varphi} = 0 \end{aligned} \quad (\text{IV.1.55})$$

Skąd mamy

$$\text{ctg} \psi = \frac{(\eta_3 - \eta_2) \cdot \sin 2\beta \pm 2\sqrt{(\eta_2 \cdot \sin^2 \beta + \eta_3 \cdot \cos^2 \beta) / \sin^2 \varphi - \eta_2 \eta_3}}{2(\sin^2 \beta \cdot \eta_2 + \cos^2 \beta \cdot \eta_3)} . \quad (\text{IV.1.56})$$

Ze wzorów (IV.1.55) i (IV.1.57) wynika, że w przypadku fali zwyczajnej, dla której $\eta_2 = \eta_3 \equiv 1/n_o^2$, mamy

$$\frac{\sin \varphi}{\sin \psi} = n_o . \quad (\text{VI.1.57})$$

Wzór (VI.1.57) jest dobrze znanym z optyki ośrodków izotropowych jako **prawo W. Snelliusa**.

Zadania do § IV.1.1

1. Znaleźć kąt α między wektorem falowym \vec{k}_0 i promieniem \vec{s} fali świetlnej rozchodzącej się w kryształ turmaliny $((Na, Ca)(Mg, Li, Al)_3 Al_6 [BO_3] [Si_6 O_{18}]$ grupa punktowa – 3m; główne wartości tensora przenikalności dielektrycznej są równe: $\varepsilon_1 = \varepsilon_2 = 8,2; \varepsilon_3 = 7,5$) w kierunku, który tworzy kąt 30° z osią 3-krotną.

Odpowiedź: $\alpha = 1,03^\circ$.

2. Oś optyczna płytki o grubości $0,01 \text{ cm}$, wyciętej z kryształu kwarcu znajduje się w płaszczyźnie płytki. Biorąc pod uwagę, że dla kwarcu $n_e = 1,553$, $n_o = 1,544$ (dla fali świetlnej o długości $\lambda = 0,589 \mu \text{ m}$) obliczyć różnicę faz między falą zwyczajną i nadzwyczajną.

Odpowiedź: $\Delta \varphi = 0.24 \text{ rad}$.

3. Wykazać, że jeżeli oś optyczna płytki krystalicznej jest prostopadła do powierzchni płytki, to wektory falowe fal załamanych oraz oś optyczna znajdują się w jednej płaszczyźnie.

4. Obliczyć natężenie światła, przechodzącego przez układ: polaryzator – kryształ – analizator (rys.IV.1.5), zakładając, że płaszczyzny drgań w analizatorze i polaryzatorze są skrzyżowane, a oś optyczna płytki o grubości 0.5 cm z kryształu *KDP* ($n_e = 1.469$, $n_o = 1.511$ dla fali świetlnej o długości $\lambda = 0.546 \mu \text{ m}$) leży w płaszczyźnie płytki i tworzy kąt 45° z kierunkiem drgań światła w polaryzatorze.

Odpowiedź: $I / I_0 = 0.616$.

IV.2 Zjawisko elastoptyczne

Zmiana optycznych właściwości kryształu pod wpływem działania na kryształ naprężeń nosi nazwę **zjawiska elastoptycznego albo piezoptycznego**. Optyczne właściwości kryształu określa elipsoida współczynników załamania światła czyli tensor nieprzenikalności dielektrycznej η_{ij} . Pod wpływem zewnętrznych naprężeń zachodzi zmiana składowych tensora η_{ij} . W przypadku małych zmian kształtu, wymiarów oraz orientacji elipsoidy współczynników załamania światła te zmiany możemy opisać równaniem

$$\Delta \eta_{ij} = \eta_{ij}^0 - \eta_{ij} . \quad (\text{IV.2.1})$$

Tu η_{ij}^0 jest tensor nieprzenikalności dielektrycznej nie deformowanego kryształu, a η_{ij} - tensor nieprzenikalności dielektrycznej kryształu deformowanego.

Wielkości $\Delta \eta_{ij}$ są w ogóle niewiadomymi funkcjami składowych tensora naprężeń t_{kl} . Jednak w przypadku niewielkich zmian tensora η_{ij} , zależności $\Delta \eta_{ij}$ od t_{kl} z dobrym przybliżeniem (przybliżenie liniowe) możemy opisać wzorem

$$\Delta \eta_{ij} = \pi_{ijkl} \cdot t_{kl} . \quad (\text{IV.2.2})$$

Współczynniki π_{ijkl} , które tworzą składowe tensora czwartego rzędu, nazywamy **współczynnikami piezoptycznymi**.

Ponieważ składowe tensora naprężenia t_{kl} są związane ze składowymi tensora deformacji r_{ij} prawem Hooke'a ($t_{ij} = c_{ijkl} \cdot r_{kl}$), zmiany tensora dielektrycznej nieprzenikalności możemy wyrazić również przez składowe tensora deformacji r_{ij}

$$\Delta \eta_{ij} = p_{ijkl} \cdot r_{kl} . \quad (\text{IV.2.3})$$

Tu wielkości $p_{ijkl} = \pi_{ijmn} \cdot c_{mnlk}$ są składowymi tensora czwartego rzędu i noszą nazwę **współczynników elastoptycznych**.

Korzystając z reguł macierzowego zapisu składowych tensora (patrz rozdział III) wzory (IV.2.2) i (IV.2.3) możemy zapisać w postaci

$$\Delta \eta_m = \pi_{mn} \cdot t_n , \quad (\text{IV.2.4})$$

$$\Delta \eta_m = p_{mn} \cdot r_n . \quad (\text{IV.2.5})$$

Tensor π_{ijkl} i p_{ijkl} są tensorami materii, a zatem podlegają ograniczeniom narzucanym zasadą Neumanna.

W praktyce najczęściej wykorzystuje się efekt elastoptyczny podłużny i efekt elastoptyczny poprzeczny. W przypadku efektu elastoptycznego podłużnego kierunek działania naprężenia ściskającego płytkę krystaliczną pokrywa się z kierunkiem promienia fali świetlnej. Dla efektu elastoptycznego poprzecznego te kierunki są wzajemnie prostopadłe.

Przykład IV.2.1. Dla kryształów należących do układu regularnego elipsoida współczynników załamania jest kulą, a zatem zjawisko dwójłomności światła w kryształach układu regularnego nie obserwuje się. Rozważmy poprzeczny efekt elastoptyczny w kryształach klasy $m3m$ w przypadku, gdy kryształ został ściśnięty wzdłuż osi symetrii 4-krotnej.

Wybermy osi współrzędnych Ox_1, Ox_2, Ox_3 wzdłuż trzech wzajemnie prostopadłych 4-krotnych osi symetrii i niech kryształ został ściśnięty wzdłuż osi Ox_3 . Wtedy tensor naprężenia ma jedną niezerową składową $t_3 \equiv t$. Zgodnie ze wzorem (IV.2.4) to naprężenie wywołuje następujące zmiany składowych tensora nieprzenikalności dielektrycznej

$$\Delta \eta_m = \pi_{m3} \cdot t_3 . \quad (\text{IV.2.6})$$

W kryształach klasy $m3m$ tensor współczynników elastoptycznych π_{mn} ma postać (patrz zadanie 1)

$$[\pi_{mn}] = \begin{bmatrix} \pi_{11} & \pi_{12} & \pi_{12} & 0 & 0 & 0 \\ \pi_{12} & \pi_{11} & \pi_{12} & 0 & 0 & 0 \\ \pi_{12} & \pi_{12} & \pi_{11} & 0 & 0 & 0 \\ 0 & 0 & 0 & \pi_{44} & 0 & 0 \\ 0 & 0 & 0 & 0 & \pi_{44} & 0 \\ 0 & 0 & 0 & 0 & 0 & \pi_{44} \end{bmatrix}. \quad (\text{IV.2.7})$$

A zatem ze wzoru (IV.2.6) mamy

$$\Delta \eta_1 = \Delta \eta_2 = \pi_{12} \cdot t, \quad \Delta \eta_3 = \pi_{11} \cdot t, \quad \Delta \eta_4 = \Delta \eta_5 = \Delta \eta_6 = 0. \quad (\text{IV.2.8})$$

Biorąc pod uwagę (IV.2.8), otrzymujemy równanie dla indyktrisy optycznej

$$\begin{aligned} & (\eta_0 + \Delta \eta_1)x_1^2 + (\eta_0 + \Delta \eta_2)x_2^2 + (\eta_0 + \Delta \eta_3)x_3^2 \\ & = (\eta_0 + \pi_{12} \cdot t) \cdot (x_1^2 + x_2^2) + (\eta_0 + \pi_{11} \cdot t)x_3^2 = 1, \end{aligned} \quad (\text{IV.2.9})$$

gdzie $\eta_0 = 1/n_o^2$ i n_o - współczynnik załamania światła do deformacji kryształu.

Ze wzoru (IV.2.9) wynika, że indyktrisa kryształu regularnego po ściśnięciu kryształu wzdłuż osi symetrii 4-krotnej przyjmuje kształt elipsoidy obrotowej. Główne współczynniki załamania światła są równe

$$\begin{aligned} n_1 = n_2 &= \frac{1}{\sqrt{\eta_0 + \Delta \eta_1}} = \frac{1}{\sqrt{\eta_0}} \left(1 + \frac{\Delta \eta_1}{\eta_0}\right)^{-1/2} \\ &\approx \frac{1}{\sqrt{\eta_0}} \left(1 - \frac{1}{2} \frac{\Delta \eta_1}{\eta_0}\right) = n_o - \frac{1}{2} n_o^3 \pi_{12} t, \\ n_3 &= \frac{1}{\sqrt{\eta_0 + \Delta \eta_3}} = \frac{1}{\sqrt{\eta_0}} \left(1 + \frac{\Delta \eta_3}{\eta_0}\right)^{-1/2} \\ &\approx \frac{1}{\sqrt{\eta_0}} \left(1 - \frac{1}{2} \frac{\Delta \eta_3}{\eta_0}\right) = n_o - \frac{1}{2} n_o^3 \pi_{11} t. \end{aligned}$$

Wielkość dwójłomności światła rozchodzącego się wzdłuż kierunku prostopadłego do osi Ox_3 określa wzór

$$\Delta n = n_3 - n_1 = -\frac{1}{2} n_o^3 (\pi_{11} - \pi_{12}) \cdot t.$$

Przykład IV.2.2. Rozważmy efekt elastoptyczny w kryształach klasy $m3m$ w przypadku, gdy kryształ został ściśnięty wzdłuż osi symetrii 3 - krotnej.

W danym układzie krystalicznym tensor naprężenia jednoosiowego działającego wzdłuż osi 3 – krotnej, która pokrywa się z kierunkiem [111], ma postać

$$[t_n] = \frac{1}{3} \begin{bmatrix} t & t & t \\ t & t & t \\ t & t & t \end{bmatrix} . \quad (\text{IV.2.10})$$

Zgodnie z (IV.2.4) i (IV.2.7) zmiany składowych tensora nieprzenikalności dielektrycznej wynoszą

$$\Delta \eta_1 = \Delta \eta_2 = \Delta \eta_3 = \frac{1}{3}(\pi_{11} + 2\pi_{12}) \cdot t , , \quad \Delta \eta_4 = \Delta \eta_5 = \Delta \eta_6 = \frac{1}{3}\pi_{44} \cdot t . \quad (\text{IV.2.11})$$

Biorąc pod uwagę (IV.2.11), otrzymujemy równanie dla indyktrycy optycznej

$$a \cdot (x_1^2 + x_2^2 + x_3^2) + 2b \cdot (x_1x_2 + x_1x_3 + x_2x_3) = 1 , \quad (\text{IV.2.12})$$

gdzie

$$a = \eta_0 + \frac{1}{3}(\pi_{11} + 2\pi_{12}) \cdot t , \quad 2b = \frac{1}{3}\pi_{44} \cdot t .$$

Ze wzoru (IV.2.12) wynika, że dla odkształconego kryształu układ krystalofizyczny nie jest układem osi głównych indyktrycy optycznej. Znajdziemy główny układ osi indyktrycy optycznej.

Z równania

$$\begin{vmatrix} a - \eta & b & b \\ b & a - \eta & b \\ b & b & a - \eta \end{vmatrix} = (a - b - \eta) \cdot [(a - \eta)^2 + b \cdot (a - \eta) - 2b^2] = 0 ,$$

otrzymujemy

$$\eta_1 = \eta_2 = a - b , \quad \eta_3 = a + 2b . \quad (\text{IV.2.13})$$

Ze wzoru (IV.2.13) wynika, że optyczna indyktrysa kryształu odkształconego jest elipsoidą obrotową ($\eta_1 = \eta_2 \neq \eta_3$). A więc deformacja kryształu regularnego wzdłuż osi 3 – krotnej powoduje, że kryształ będzie optycznie jednoosiowy. Kierunek głównej osi indyktrycy optycznej odpowiadającej η_3 znajdziemy z rozwiązania układu równań

$$(a - \eta_3) \cdot c_1 + b \cdot (c_2 + c_3) = -3b \cdot c_1 + b \cdot (c_1 + c_2 + c_3) = 0 ,$$

$$(a - \eta_3) \cdot c_2 + b \cdot (c_1 + c_3) = -3b \cdot c_2 + b \cdot (c_1 + c_2 + c_3) = 0 ,$$

$$(a - \eta_3) \cdot c_3 + b \cdot (c_2 + c_3) = -3b \cdot c_3 + b \cdot (c_1 + c_2 + c_3) = 0 ,$$

$$c_1^2 + c_2^2 + c_3^2 = 1 .$$

Rozwiązanie tych równań ma postać

$$c_1 = c_2 = c_3 = \frac{1}{\sqrt{3}} .$$

A zatem kierunek osi optycznej deformowanego kryształu, pokrywa się z kierunkiem [111], czyli z kierunkiem działania naprężenia jednoosiowego.

Równanie indyktrisy optycznej deformowanego kryształu w układzie głównych osi tensora nieprzenikalności ma postać

$$\begin{aligned} & [\eta_0 + \frac{1}{3}(\pi_{11} + 2\pi_{12} - \frac{1}{2}\pi_{44}) \cdot t] \cdot (x_1^2 + x_2^2) \\ & + [\eta_0 + \frac{1}{3}(\pi_{11} + 2\pi_{12} + \pi_{44}) \cdot t] x_3^2 = 1 \end{aligned} \quad (IV.2.14)$$

Ze wzoru (IV.2.14) wynika, że główne współczynniki załamania światła są równe

$$\begin{aligned} n_1 = n_2 &= \frac{1}{\sqrt{\eta_0 + \Delta \eta_1}} = \frac{1}{\sqrt{\eta_0}} \left(1 + \frac{\Delta \eta_1}{\eta_0}\right)^{-1/2} \\ &\approx \frac{1}{\sqrt{\eta_0}} \left(1 - \frac{1}{2} \frac{\Delta \eta_1}{\eta_0}\right) = n_o - \frac{1}{6} n_o^3 (\pi_{11} + 2\pi_{12} - \frac{1}{2}\pi_{44}) \cdot t , \\ n_3 &= \frac{1}{\sqrt{\eta_0 + \Delta \eta_3}} = \frac{1}{\sqrt{\eta_0}} \left(1 + \frac{\Delta \eta_3}{\eta_0}\right)^{-1/2} \\ &\approx \frac{1}{\sqrt{\eta_0}} \left(1 - \frac{1}{2} \frac{\Delta \eta_3}{\eta_0}\right) = n_o - \frac{1}{6} n_o^3 (\pi_{11} + 2\pi_{12} + \pi_{44}) \cdot t . \end{aligned}$$

Wielkość dwójłomności światła rozchodzącego się wzdłuż kierunku prostopadłego do osi Ox_3 określa wzór

$$\Delta n = n_3 - n_1 = -\frac{1}{4} n_o^3 \pi_{44} \cdot t .$$

Zadania do §IV.2

1. Wykazać, że macierz współczynników elastoptycznych kryształów klasy $\bar{4}3m$ ma postać

$$[\pi_{mn}] = \begin{bmatrix} \pi_{11} & \pi_{12} & \pi_{12} & 0 & 0 & 0 \\ \pi_{12} & \pi_{11} & \pi_{12} & 0 & 0 & 0 \\ \pi_{12} & \pi_{12} & \pi_{11} & 0 & 0 & 0 \\ 0 & 0 & 0 & \pi_{44} & 0 & 0 \\ 0 & 0 & 0 & 0 & \pi_{44} & 0 \\ 0 & 0 & 0 & 0 & 0 & \pi_{44} \end{bmatrix} .$$

2. Wykazać, że przy ściśnięciu kryształu klasy $\bar{4}3m$ wzdłuż kierunku $[110]$ indykatorysa optyczna deformuje się w trójosiową elipsoidę, jedna z osi której pokrywa się z kierunkiem działania jednoosiowego naprężenia.

3. Wykazać, że macierz współczynników elastoptycznych kryształów klasy $\bar{4}2m$ ma postać

$$[\pi_{mn}] = \begin{bmatrix} \pi_{11} & \pi_{12} & \pi_{13} & 0 & 0 & 0 \\ \pi_{12} & \pi_{11} & \pi_{13} & 0 & 0 & 0 \\ \pi_{31} & \pi_{31} & \pi_{33} & 0 & 0 & 0 \\ 0 & 0 & 0 & \pi_{44} & 0 & 0 \\ 0 & 0 & 0 & 0 & \pi_{44} & 0 \\ 0 & 0 & 0 & 0 & 0 & \pi_{66} \end{bmatrix} .$$

4. Znaleźć główne współczynniki załamania światła kryształu klasy $\bar{4}2m$ przy działaniu na kryształ wzdłuż kierunku $[100]$ rozciągającego naprężenia.

Odpowiedź: $n_1 = n_o - \frac{1}{2} n_o^3 \pi_{11} t$, $n_2 = n_o - \frac{1}{2} n_o^3 \pi_{12} t$, $n_3 = n_e - \frac{1}{2} n_e^3 \pi_{13} t$.

5. W płytce o grubości d , wyciętej z kryształu klasy $m3m$ prostopadle do kierunku $[111]$, obserwuje się poprzeczny efekt elektroptyczny. Różnica dróg optycznych promieni nadzwyczajnego i zwyczajnego wynosi $\lambda / 2$. Wykazać, że z tego eksperymentu możemy otrzymać współczynnik elektroptyczny π_{44} i

$$\pi_{44} = \frac{2\lambda}{n_o^3 \cdot d \cdot t} .$$

Wskazówka: Patrz wzory z przykładu IV.2.2. Różnica dróg optycznych określa wzór: $\Delta \lambda = \Delta n \cdot d$.

IV.3 Zjawiska elektroptyczne

Zmiana optycznych właściwości kryształu pod wpływem działania na kryształ pola elektrycznego nosi nazwę **zjawiska elektroptycznego**. Tutaj podobnie do efektu elastoptycznego wpływ pola elektrycznego na optyczne właściwości kryształu możemy

rozważać jako zmiany elipsoidy współczynników załamania światła czyli tensora nieprzenikalności dielektrycznej η_{ij} . W przypadku małych zmian kształtu, wymiarów oraz orientacji elipsoidy współczynników załamania światła te zmiany możemy opisać równaniem

$$\Delta \eta_{ij} = \eta_{ij}^0 - \eta_{ij} . \quad (\text{IV.3.1})$$

Tu η_{ij}^0 jest tensorem nieprzenikalności dielektrycznej nie deformowanego kryształu, a η_{ij} jest tensorem nieprzenikalności dielektrycznej deformowanego kryształu.

W przypadku niewielkich zmian tensora η_{ij} , zależności $\Delta \eta_{ij}$ od składowych wektora natężenia pola elektrycznego E_k z dobrym przybliżeniem (przybliżenie liniowe) możemy opisać wzorem

$$\Delta \eta_{ij} = r_{ijk} \cdot E_k . \quad (\text{IV.3.2})$$

Współczynniki r_{ijk} , które tworzą składowe tensora trzeciego rzędu, nazywamy **współczynnikami elektrooptycznymi**. Liniowy efekt elektrooptyczny, określony wzorem (IV.3.2) czasami jest nazywany **efektem Pockelsa**.

W postaci macierzowej efekt Pockelsa opisuje wzór

$$\Delta \eta_m = r_{mk} \cdot E_k , \quad (\text{IV.3.3})$$

Tensor r_{ijk} jest tensorem materii, a zatem podlega ograniczeniom narzucanym zasadą Neumanna. Ponieważ tensor współczynników elektrooptycznych jest tensorem trzeciego rzędu, liniowy efekt elektrooptyczny nie istnieje w kryształach zawierających środek symetrii.

Rozróżnia się efekt elektrooptyczny **pierwotny** i **wtórny**. Jeżeli kryształ nie może odkształcać się, to efekt elektrooptyczny, który obserwujemy w takim zwartym kryształu nazywamy pierwotnym efektem elektrooptycznym. W przypadku kryształu swobodnego pole elektryczne, wskutek odwrotnego efektu piezoelektrycznego, wywołuje odkształcenia kryształu. Takie odkształcenia pociągają za sobą zmiany współczynników załamania za pośrednictwem efektu elastooptycznego. Efekt elektrooptyczny który obserwujemy w tym przypadku nazywamy wtórnym. W swobodnym, nie zwartym kryształu efekt elektrooptyczny jest zatem sumą efektów pierwotnego i wtórnego, a zmiany tensora η_{ij} opisuje wzór

$$\Delta \eta_{ij} = r_{ijk} \cdot E_k + p_{ijkl} \cdot r_{kl} = (r_{ijk} + p_{ijm} \cdot d_{kml}) \cdot E_k . \quad (\text{IV.3.4})$$

Tu wielkości d_{kml} są współczynnikami piezoelektrycznymi.

Liniowy efekt elektrooptyczny obserwuje się w przypadku gdy naprężenia pola elektrycznego oraz odkształcenia kryształów są małe. Dla dużych naprężeń i odkształceń musimy wprowadzić do wzoru (IV.3.2) wyrazy kwadratowe

$$\Delta \eta_{ij} = r_{ijk} \cdot E_k + R_{ijkl} \cdot E_k \cdot E_l . \quad (\text{IV.3.5})$$

Współczynniki R_{ijkl} , które tworzą składowe tensora czwartego rzędu, nazywamy **współczynnikami Kerra**. Kwadratowy efekt elektrooptyczny, określony drugim wyrazem we wzorze (IV.3.5) nazywamy **efektem Kerra**.

Efekt Kerra również może być **pierwotnym** i **wtórny**. Jeżeli kryształ nie może odkształcać się, to efekt Kerra, który obserwujemy w takim zwartym kryształcie nazywamy pierwotnym efektem Kerra. W przypadku kryształu swobodnego pole elektryczne wywołuje odkształcenia kryształu

$$r_{jk} = d_{ijk} \cdot E_i + \gamma_{imjk} \cdot E_i \cdot E_m . \quad (\text{IV.3.6})$$

Pierwszy wyraz w (IV.3.6) odpowiada liniowemu efektowi piezoelektrycznemu. Natomiast drugi kwadratowy wyraz reprezentuje zjawisko, które nosi nazwę **elektrostrykcji**. Odkształcenia elektrostrykcyjne pociągają za sobą zmiany współczynników załamania za pośrednictwem efektu elastooptycznego. Efekt Kerra, który obserwujemy w tym przypadku nazywamy wtórny. W swobodnym, nie zwartym kryształcie efekt elektrooptyczny jest zatem sumą efektów pierwotnego i wtórnego, a zmiany tensora η_{ij} opisuje wzór

$$\Delta \eta_{ij} = R_{ijkl} \cdot E_k \cdot E_l + p_{ijmn} \cdot r_{mn} = (R_{ijkl} + p_{ijmn} \cdot \gamma_{mnkl}) \cdot E_k \cdot E_l . \quad (\text{IV.3.7})$$

Tu wielkości γ_{mnkl} są **współczynnikami elektrostrykcyjnymi**.

W kryształach posiadających środek inwersji liniowego efektu elektrooptycznego nie obserwuje się, a zatem głównym efektem jest efekt Kerra.

W praktyce najczęściej wykorzystuje się efekt elektrooptyczny podłużny i efekt elektrooptyczny poprzeczny. W przypadku efektu elektrooptycznego podłużnego kierunek działania pola elektrycznego na płytkę krystaliczną pokrywa się z kierunkiem promienia fali świetlnej. Dla efektu elektrooptycznego poprzecznego te kierunki są wzajemnie prostopadłe.

Przykład IV.3.1. Efekt elektrooptyczny często stosuje się w urządzeniach sterujących światłem. Schemat jednego z takich urządzeń jest przedstawiony na rys.IV.3.1. Płytkę K z kryształu KDP (KH_2PO_4 , grupa punktowa - $\bar{4}2m$) zaopatrzoną w okładki metalowe jest umieszczona między skrzyżowanymi polaryzatorami P_1 i P_2 . Oś optyczna kryształu jest prostopadła do powierzchni płytki. Jeżeli różnica potencjałów między okładkami metalowymi jest równa zero, światło od źródła S nie przechodzi przez urządzenie. Natomiast przyłożone pole elektryczne powoduje deformację dyfrakcyjnej i płytka staje się przezroczystą. Zgodnie z (IV.1.50) maksymalne natężenie światła będzie miała płytka dla której różnica faz wynosi $\varphi = \pi$. Ze wzoru (IV.1.48) wynika, że taką różnicę faz będzie miała płytka dla której różnica dróg optycznych wynosi $d \cdot (n_1 - n_2) = \lambda/2$. Współczynniki załamania n_1 i n_2 promieni nadzwyczajnego i zwyczajnego zależą od natężenia pola elektrycznego. Różnica potencjałów dla której płytka staje się przezroczystą oznaczymy jako $U_{\lambda/2}$. Znajdziemy teraz wzór na $U_{\lambda/2}$.

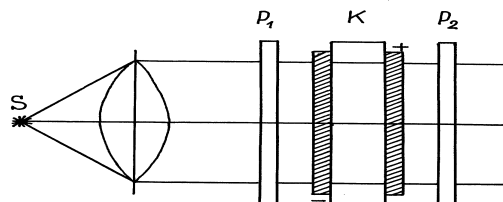
W kryształach klasy $\bar{4}2m$ tensor współczynników elastooptycznych π_{mn} ma trzy niezerowe składowe (patrz zadanie 1): r_{41} , $r_{52} = r_{41}$, r_{63} . A zatem ze wzoru (IV.3.3) mamy

$$\Delta \eta_1 = \Delta \eta_2 = \Delta \eta_3 = \Delta \eta_4 = \Delta \eta_5 = 0, \quad \Delta \eta_6 = r_{63} \cdot E, \quad (IV.3.8)$$

Biorąc pod uwagę (IV.3.8), otrzymujemy równanie dla dyfrakcyjnej

$$\begin{aligned} & (\eta_o + \Delta \eta_1)x_1^2 + (\eta_o + \Delta \eta_2)x_2^2 + (\eta_e + \Delta \eta_3)x_3^2 \\ & = \eta_o \cdot (x_1^2 + x_2^2) + \eta_e \cdot x_3^2 + 2r_{63}E \cdot x_1x_2 = 1 \end{aligned}, \quad (IV.3.9)$$

gdzie $\eta_o = 1/n_o^2$, $\eta_e = 1/n_e^2$; n_o , n_e - współczynniki załamania fali zwyczajnej i nadzwyczajnej.



Rys. IV.3.1. Schemat modulatora optycznego

Ze wzoru (IV.3.9) wynika, że przekrój indyktrisy optycznej kryształu płaszczyzną prostopadłą do osi optycznej $\bar{4}$ jest elipsą

$$\eta_o \cdot (x_1^2 + x_2^2) + 2r_{63}E \cdot x_1x_2 = 1, \quad (\text{IV.3.10})$$

Przyjęty układ krystalofizyczny, jak widać ze wzoru (IV.3.10), nie jest układem osi głównych indyktrisy optycznej. Znajdziemy teraz układ osi głównych indyktrisy optycznej.

Z równania

$$\begin{vmatrix} \eta_o - \lambda & a \\ a & \eta_o - \lambda \end{vmatrix} = (\eta_o - \lambda)^2 - a^2 = 0,$$

otrzymujemy

$$\lambda_1 = \eta_o - a, \quad \lambda_2 = \eta_o + a. \quad (\text{IV.3.11})$$

Tu $a = r_{63}E$.

Kierunki głównych osi Ox'_1 i Ox'_2 indyktrisy optycznej odpowiadających λ_1 i λ_2 znajdziemy z rozwiązania układu równań

$$(\eta_o - \lambda_i) \cdot c_{1i} + a \cdot c_{2i} = \pm a \cdot c_{1i} + a \cdot c_{2i} = 0,$$

$$(\eta_o - \lambda_i) \cdot c_{2i} + a \cdot c_{1i} = \pm a \cdot c_{2i} + a \cdot c_{1i} = 0,$$

$$c_{1i}^2 + c_{2i}^2 = 1.$$

Rozwiązanie tych równań ma postać

$$\lambda_1 = \eta_o + r_{63}E, \quad c_1 = c_2 = \frac{1}{\sqrt{2}},$$

$$\lambda_2 = \eta_o - r_{63}E, \quad c_1 = -c_2 = -\frac{1}{\sqrt{2}},$$

A zatem kierunki osi głównych osi Ox'_1 i Ox'_2 indyktrisy optycznej tworzą kąty 45° z osiami Ox_1 i Ox_2 .

Równanie indyktrisy optycznej deformowanego kryształu w układzie osi głównych tensora nieprzenikalności ma postać

$$(\eta_o + r_{63}E) \cdot x_1'^2 + (\eta_o - r_{63}E) \cdot x_2'^2 + \eta_e \cdot x_3^2 = 1. \quad (\text{IV.3.12})$$

Ze wzoru (IV.3.12) wynika, że główne współczynniki załamania światła są równe

$$n_1 = \frac{1}{\sqrt{\eta_o + \Delta \eta_1}} = \frac{1}{\sqrt{\eta_o}} \left(1 + \frac{\Delta \eta_1}{\eta_o}\right)^{-1/2}$$

$$\approx \frac{1}{\sqrt{\eta_o}} \left(1 - \frac{1}{2} \frac{\Delta \eta_1}{\eta_o}\right) = n_o - \frac{1}{2} n_o^3 \cdot r_{63} \cdot E$$

$$n_2 = \frac{1}{\sqrt{\eta_o + \Delta \eta_2}} = \frac{1}{\sqrt{\eta_o}} \left(1 + \frac{\Delta \eta_2}{\eta_o}\right)^{-1/2}$$

$$\approx \frac{1}{\sqrt{\eta_o}} \left(1 - \frac{1}{2} \frac{\Delta \eta_2}{\eta_o}\right) = n_o + \frac{1}{2} n_o^3 \cdot r_{63} \cdot E$$

$$n_3 = n_e$$

Wielkość dwójłomności światła rozchodzącego się wzdłuż osi Ox_3 określa wzór

$$\Delta n = n_2 - n_1 = n_o^3 \cdot r_{63} \cdot E,$$

a różnica dróg optycznych wynosi

$$d \cdot (n_1 - n_2) = n_o^3 \cdot r_{63} \cdot (E \cdot d) = n_o^3 \cdot r_{63} \cdot U. \quad (\text{IV.3.13})$$

Tu $U = E \cdot d$ jest różnica potencjałów między okładkami metalowymi.

Jeżeli różnica dróg optycznych jest równa $\lambda / 2$, to ze wzoru (IV.3.13) otrzymujemy

$$U_{\lambda/2} = \frac{\lambda}{2r_{63} \cdot n_o^3}. \quad (\text{IV.3.14})$$

Przykład IV.3.2. Modulacja światła może być również zrealizowana w oparciu o efekt Kerra. Rozważmy działania takiego urządzenia na przykładzie sześciangu wyciętego z kryształu klasy $m3m$. Krawędzi sześciangu są równoległe do osi 4 – krotnych kryształu.

W kryształach klasy $m3m$ tensor współczynników Kerra R_{mn} ma trzy niezerowe składowe (patrz zadanie 2): $R_{12} = R_{13} = R_{21} = R_{23} = R_{31} = R_{32}$, $R_{11} = R_{22} = R_{33}$, $R_{44} = R_{55} = R_{66}$. Jeżeli pole elektryczne zostało przyłożone wzdłuż osi Ox_1 , ze wzoru (IV.3.5) mamy

$$\Delta \eta_1 = R_{11} \cdot E^2, \Delta \eta_2 = \Delta \eta_3 = R_{12} \cdot E^2, \Delta \eta_4 = \Delta \eta_5 = \Delta \eta_6 = 0. \quad (\text{IV.3.15})$$

Biorąc pod uwagę (IV.3.15), otrzymujemy równanie dla indykatrysy optycznej

$$(\eta_o + \Delta \eta_1)x_1^2 + (\eta_o + \Delta \eta_2)x_2^2 + (\eta_o + \Delta \eta_3)x_3^2$$

$$= (\eta_o + R_{11} \cdot E^2) \cdot x_1^2 + (\eta_o + R_{12} \cdot E^2) \cdot (x_2^2 + x_3^2) = 1, \quad (\text{IV.3.16})$$

gdzie $\eta_o = 1/n_o^2$; n_o - współczynnik załamania kryształu.

Ze wzoru (IV.3.16) wynika, że główne współczynniki załamania światła są równe

$$n_1 = \frac{1}{\sqrt{\eta_o + \Delta \eta_1}} = \frac{1}{\sqrt{\eta_o}} \left(1 + \frac{\Delta \eta_1}{\eta_o}\right)^{-1/2}$$

$$\approx \frac{1}{\sqrt{\eta_o}} \left(1 - \frac{1}{2} \frac{\Delta \eta_1}{\eta_o}\right) = n_o - \frac{1}{2} n_o^3 \cdot R_{11} \cdot E^2$$

$$n_2 = n_3 = \frac{1}{\sqrt{\eta_o + \Delta \eta_2}} = \frac{1}{\sqrt{\eta_o}} \left(1 + \frac{\Delta \eta_2}{\eta_o}\right)^{-1/2}$$

$$\approx \frac{1}{\sqrt{\eta_o}} \left(1 - \frac{1}{2} \frac{\Delta \eta_2}{\eta_o}\right) = n_o - \frac{1}{2} n_o^3 \cdot R_{12} \cdot E^2$$

Ponieważ $n_2 = n_3$ dwójłomność światła będzie niezerowa tylko dla światła rozchodzącego się w kierunku prostopadłym do kierunku pola elektrycznego. A więc modulator światła będzie działał tylko na zasadzie poprzecznego efektu Kerra.

Zadania do § IV.3

1 Wykazać, że macierz współczynników elektrooptycznych kryształów klasy $\bar{4}2m$ ma postać

$$[r_{mk}] = \begin{bmatrix} 0 & 0 & 0 \\ 0 & 0 & 0 \\ 0 & 0 & 0 \\ r_{41} & 0 & 0 \\ 0 & r_{41} & 0 \\ 0 & 0 & r_{63} \end{bmatrix}.$$

2. Wykazać, że macierz współczynników Kerra kryształów klasy $m3m$ ma postać

$$[R_{mn}] = \begin{bmatrix} R_{11} & R_{12} & R_{12} & 0 & 0 & 0 \\ R_{12} & R_{11} & R_{12} & 0 & 0 & 0 \\ R_{12} & R_{12} & R_{11} & 0 & 0 & 0 \\ 0 & 0 & 0 & R_{44} & 0 & 0 \\ 0 & 0 & 0 & 0 & R_{44} & 0 \\ 0 & 0 & 0 & 0 & 0 & R_{44} \end{bmatrix}.$$

3. Płytką kryształu soli Siegnette'a (grupa punktowa - 222) wyciętą prostopadle do osi dwukrotnej została umieszczona w polu elektrycznym. Wykazać, że nowe współczynniki załamania światła są równe

$$n'_1 = n_1 ,$$

$$(n'_2)^{-2} = n_2^{-2} + \frac{r_{41}^2 E^2}{n_2^{-2} - n_3^{-2}} ,$$

$$(n'_3)^{-2} = n_3^{-2} + \frac{r_{41}^2 E^2}{n_2^{-2} - n_3^{-2}} .$$

4. Wykazać, że współczynniki załamania światła płytki wyciętej z kryształu sfalerytu (ZnS , punktowa grupa - $\bar{4}3m$) tak, że oś płytki pokrywa się z kierunkiem $[111]$ i umieszczonej w polu elektrycznym są równe

$$n'_1 = n'_2 = n_o + \frac{1}{2\sqrt{3}} n_o^3 r_{41} E ,$$

$$n'_3 = n_o - \frac{1}{2\sqrt{3}} n_o^3 r_{41} E .$$

IV.4 Aktywność optyczna

Zdolność niektórych kryształów do skręcania płaszczyzny polaryzacji światła nazywa się **aktywnością optyczną**. Zjawisko skręcenia płaszczyzny polaryzacji światła zachodzi w kryształach optyczne izotropowych (układu regularnego), jak również w kryształach jedno i dwuosiowych i obserwuje się w kryształach w których występuje **dyspersja przestrzenna wektora polaryzacji elektrycznej** $\vec{P}(\vec{r}, t)$. Dyspersja przestrzenna wektora polaryzacji $\vec{P}(\vec{r}, t)$ polega na tym, że wektor polaryzacji elektrycznej w punkcie, określonym wektorem wodzącym \vec{r} , zależy nie tylko od wektora natężenia pola elektrycznego \vec{E} w tym punkcie, ale zależy również od przestrzennych pochodnych wektora \vec{E}

$$P_i = \varepsilon_{0\zeta}{}_{ij} E_j + \varepsilon_{0\beta}{}_{ijk} \frac{\partial E_j}{\partial x_k} . \quad (IV.4.1)$$

W optyce kryształów dogodniej jest rozważać zamiast zależności (IV.4.1), zależność natężenia pola elektrycznego \vec{E} od wektora indukcji elektrycznej \vec{D}

$$E_i = \eta_{0\eta}{}_{ij} D_j + \eta_{0\xi}{}_{ijk} \frac{\partial D_j}{\partial x_k} . \quad (IV.4.2)$$

Uwzględniając, że dla fali płaskiej $\vec{D}(\vec{r}, t) = \vec{D}_0 \exp[i(\vec{k}\vec{r} - \omega t)]$

$$\frac{\partial D_j}{\partial x_i} = ik_i \cdot D_j ,$$

wzór (IV.4.2) możemy zapisać w postaci

$$E_i = \eta_0 \tilde{\eta}_{ij} \cdot D_j , \quad (IV.4.3)$$

gdzie

$$\tilde{\eta}_{ij} = \eta_{ij} + i\xi_{ijm} k_m . \quad (IV.4.4)$$

Z porównania (IV.4.3), (IV.4.4) z równaniem materialnym (IV.1.19b) ($E_i = \eta_0 \eta_{ij} D_j$) widzimy, że przestrzenna dyspersja wektora polaryzacji powoduje, że tensor nieprzenikalności dielektrycznej staje się zależny od wektora falowego \vec{k} i część tensora $\tilde{\eta}_{ij}$ zależna od \vec{k} jest urojona.

Tensor nieprzenikalności określa, jak wiemy, główne współczynniki załamania światła, które są wielkościami rzeczywistymi. A zatem, aby tensor $\tilde{\eta}_{ij}$ miał rzeczywiste wartości własne, macierz z składowych tensora $\tilde{\eta}_{ij}$ powinna być macierzą hermitowską [5,22]

$$\tilde{\eta}_{ij} = \tilde{\eta}_{ji}^* . \quad (IV.4.5)$$

Ze wzoru (IV.4.4) wtedy wynika, że tensor ξ_{ijm} jest tensorem antysymetrycznym względem permutacji pierwszych dwóch wskaźników

$$\xi_{ijm} = -\xi_{jim} . \quad (IV.4.6)$$

Uwzględniając wzór (IV.4.6) dla składowych wektora $\tilde{E}_i = \eta_0 \xi_{ijm} k_m \cdot D_j$ mamy

$$\begin{aligned} \tilde{E}_1 &= \eta_0 (\xi_{12m} \cdot D_2 - \xi_{31m} \cdot D_3) \cdot k_m , \\ \tilde{E}_2 &= \eta_0 (-\xi_{12m} \cdot D_1 + \xi_{23m} \cdot D_3) \cdot k_m , \\ \tilde{E}_3 &= \eta_0 (\xi_{31m} \cdot D_1 - \xi_{23m} \cdot D_2) \cdot k_m . \end{aligned} \quad (IV.4.7)$$

Wprowadzając wektor \vec{g} o składowych

$$\mathbf{g}_1 = \xi_{23m} \cdot k_m , \mathbf{g}_2 = \xi_{31m} \cdot k_m , \mathbf{g}_3 = \xi_{12m} \cdot k_m , \quad (IV.4.8)$$

zapiszmy wzór (IV.4.7) w postaci

$$\tilde{\mathbf{E}} = \eta_0 \cdot [\vec{D} \times \vec{g}] . \quad (IV.4.9)$$

Skorzystamy teraz z tożsamości

$$[\vec{a} \times \vec{b}]_l = \varepsilon_{lij} \cdot a_i b_j . \quad (\text{IV.4.10})$$

Tu ε_{lij} jest symbolem permutacyjny Levi-Civity. Jeżeli ciąg wskaźników l, i, j jest parzystą permutacją ciągu liczb 1,2,3, to $\varepsilon_{lij} = +1$; jeżeli ciąg wskaźników l, i, j jest permutacją nieparzystą ciągu (1,2,3), to $\varepsilon_{lij} = -1$. Jeżeli co najmniej dwa wskaźniki są jednakowe, to $\varepsilon_{lij} = 0$.

Używając symbolu Levi-Civity wzór (IV.4.9) możemy zapisać w postaci

$$\vec{E}_i = \eta_0 \varepsilon_{ij} \cdot D_l g_j . \quad (\text{IV.4.11})$$

Biorąc pod uwagę, że $\vec{k} = (2\pi/\lambda) \cdot \vec{k}_0$ ($|\vec{k}_0| = 1$), zapiszmy składowe wektora \vec{g} w postaci

$$g_1 = G_{1n} \cdot k_{0n} , g_2 = G_{2n} \cdot k_{0n} , g_3 = G_{3n} \cdot k_{0n} , \quad (\text{IV.4.12})$$

gdzie

$$G_{1n} = (2\pi/\lambda) \xi_{23n} , G_{2n} = (2\pi/\lambda) \xi_{31n} , G_{3n} = (2\pi/\lambda) \xi_{12n} .$$

Uwzględniając wzory (IV.4.11) i (IV.4.12), wzór (IV.4.3) możemy zapisać w postaci

$$E_i = \eta_0 (\eta_{il} + i \varepsilon_{ij} \cdot G_{jn} k_{0n}) \cdot D_l . \quad (\text{IV.4.13})$$

Korzystając z równania (IV.4.13), rozważmy teraz zjawisko aktywności optycznej na przykładzie fali rozchodzącej się w dowolnie wybranym kierunku w kryształ. Wybierzmy oś Ox_3 prawoskrętnego układu współrzędnych wzdłuż kierunku rozchodzącej się fali. Przekrój indykatrysy optycznej płaszczyzną $x_1 O x_2$ w ogólnym przypadku ma kształt elipsy. Wybierając osi Ox_1 i Ox_2 wzdłuż głównych osi tej elipsy i korzystając ze wzorów (IV.1.17) i (IV.4.13), zamiast wzorów (IV.1.21) otrzymujemy następujący układ równań na D_1 i D_2

$$D_1 \left(\frac{1}{n_{01}^2} - \frac{1}{n^2} \right) + i G_{33} D_2 = 0 , \quad (\text{IV.4.14a})$$

$$- i G_{33} D_1 + D_2 \left(\frac{1}{n_{02}^2} - \frac{1}{n^2} \right) = 0 , \quad (\text{IV.4.14b})$$

gdzie $n_{01}^{-2} = \eta_{11}$, $n_{02}^{-2} = \eta_{22}$ i n_{01} , n_{02} są współczynniki załamania, które miałaby fala świetlna, w przypadku nie występowania w kryształ dyspersji przestrzennej wektora polaryzacji.

Układ równań (IV.4.14) ma niezerowe rozwiązanie jeżeli

$$\begin{vmatrix} \frac{1}{n_{01}^2} - \frac{1}{n^2} & iG_{33} \\ -iG_{33} & \frac{1}{n_{02}^2} - \frac{1}{n^2} \end{vmatrix} = 0 \quad (IV.4.15)$$

$$= (n^{-2})^2 - n^{-2}(n_{01}^{-2} + n_{02}^{-2}) + (n_{01}^{-2}n_{02}^{-2} - G_{33}^2) = 0$$

Z rozwiązania równania (IV.4.15) otrzymujemy

$$n_1^{-2} = n_{01}^{-2} - \frac{1}{2}[(n_{01}^{-2} - n_{02}^{-2}) - \sqrt{(n_{01}^{-2} - n_{02}^{-2})^2 + 4G_{33}^2}] , \quad (IV.4.16a)$$

$$n_2^{-2} = n_{02}^{-2} + \frac{1}{2}[(n_{01}^{-2} - n_{02}^{-2}) - \sqrt{(n_{01}^{-2} - n_{02}^{-2})^2 + 4G_{33}^2}] . \quad (IV.4.16b)$$

Wprowadzając wielkość

$$\rho = \frac{1}{2G_{33}}[\sqrt{(n_{01}^{-2} - n_{02}^{-2})^2 + 4G_{33}^2} - (n_{01}^{-2} - n_{02}^{-2})] , \quad (IV.4.17)$$

wzory (IV.4.16) możemy zapisać w postaci

$$n_1^{-2} = n_{01}^{-2} + \rho \cdot G_{33} , \quad (IV.4.18a)$$

$$n_2^{-2} = n_{02}^{-2} - \rho \cdot G_{33} . \quad (IV.4.18b)$$

Ponieważ $|G_{33}| \ll 1$, ze wzorów (IV.4.18) mamy

$$n_1 = n_{01} \cdot (1 + \rho \cdot G_{33} \cdot n_{01}^2)^{-1/2} \cong n_{01} - \frac{1}{2}n_{01}^3 \rho \cdot G_{33} , \quad (IV.4.19a)$$

$$n_2 = n_{02} \cdot (1 - \rho \cdot G_{33} \cdot n_{02}^2)^{-1/2} \cong n_{02} + \frac{1}{2}n_{02}^3 \rho \cdot G_{33} , \quad (IV.4.19b)$$

Każdy współczynnik załamania będzie miał swój wektor własny \vec{D} . Własne wektory $\vec{D}^{(1),(2)}$, odpowiadające współczynnikom n_1 i n_2 znajdziemy podstawiając n_1 i n_2 ze wzorów (IV.4.18) do układu równań (IV.4.14).

$$D_1^{(1),(2)}(\mp \rho \cdot G_{33}) + iG_{33}D_2^{(1),(2)} = 0 , \quad (IV.4.20a)$$

$$-iG_{33}D_1^{(1),(2)} + D_2^{(1),(2)}(\mp \rho \cdot G_{33}) = 0 . \quad (IV.4.20b)$$

Ze wzorów (IV.4.20) wynika, że

$$\frac{D_2^{(1)}}{D_1^{(1)}} = \frac{D_1^{(2)}}{D_2^{(2)}} = -i\rho \quad . \quad (\text{IV.4.21})$$

Uwzględniając wzór (IV.4.21), mamy

$$\vec{D}^{(1)} = D^{(1)} \cdot (\vec{e}_1 - i\rho \cdot \vec{e}_2) \cdot \exp[i(k^{(1)}x_3 - \omega t + \varphi^{(1)})] \quad , \quad (\text{IV.4.22a})$$

$$\vec{D}^{(2)} = D^{(2)} \cdot (-i\rho \cdot \vec{e}_1 + \vec{e}_2) \cdot \exp[i(k^{(2)}x_3 - \omega t + \varphi^{(2)})] \quad , \quad (\text{IV.4.22b})$$

gdzie $k^{(\alpha)} = \omega \cdot n_\alpha / c$ ($\alpha = 1,2$).

Wektory indukcji elektrycznej to są rzeczywistymi składowymi tych wektorów, a zatem

$$\text{Re} \vec{D}^{(1)} = D^{(1)} [\vec{e}_1 \cdot \cos(k^{(1)}x_3 - \omega t + \varphi^{(1)}) + \rho \cdot \vec{e}_2 \cdot \sin(k^{(1)}x_3 - \omega t + \varphi^{(1)})] \quad , \quad (\text{IV.4.23a})$$

$$\text{Re} \vec{D}^{(2)} = D^{(2)} [\rho \cdot \vec{e}_1 \cdot \sin(k^{(2)}x_3 - \omega t + \varphi^{(2)}) + \vec{e}_2 \cdot \cos(k^{(2)}x_3 - \omega t + \varphi^{(2)})] \quad . \quad (\text{IV.4.23b})$$

Ze wzorów (IV.4.23) wynika, że te dwie fale są spolaryzowane eliptycznie. Przypuśćmy, że $\rho > 0$. Jeżeli patrzeć na fale (IV.4.23) od strony osi Ox_3 , czyli od strony obserwatora, do którego oka wpada światło, to koniec wektora indukcji elektrycznej fali (IV.4.23b) porusza się po elipsie zgodnie z ruchem wskazówek zegara. Mówimy, że fala (IV.4.23b) jest spolaryzowana **prawoskrętnie**. Wektor indukcji fali (IV.4.23a) porusza się po elipsie przeciwnie z ruchem wskazówek zegara. Taką falę nazywamy spolaryzowaną **lewoskrętnie**.

Rozważmy teraz rozchodzenie się fali świetlnej wzdłuż osi optycznej. W tym przypadku $n_{01} = n_{02} \equiv n_o$ i ze wzorów (IV.17) i (IV.19) otrzymujemy

$$\rho = \frac{|G_{33}|}{G_{33}} \quad , \quad (\text{IV.4.24})$$

$$n_{1,2} \equiv n_o \mp \frac{1}{2} n_o^3 |G_{33}| \quad . \quad (\text{IV.4.25})$$

Fala świetlna wchodząca do kryształu zwykle jest płasko spolaryzowana. Niech fala ta jest spolaryzowana wzdłuż osi Ox_1 . W kryształach falę płasko spolaryzowaną można rozłożyć na dwie fale spolaryzowane kołowo. Jedna z tych fal będzie falą prawoskrętną

$$\vec{e}_1 \cdot \cos(k^{(r)}x_3 - \omega t) + \vec{e}_2 \cdot \sin(k^{(r)}x_3 - \omega t) \quad , \quad (\text{IV.4.26a})$$

zaś druga fala będzie falą lewoskrętną

$$\vec{e}_1 \cdot \cos(k^{(l)}x_3 - \omega t) - \vec{e}_2 \cdot \sin(k^{(l)}x_3 - \omega t) \quad . \quad (\text{IV.4.26b})$$

Prędkości tych fal są różne i równe odpowiednio $\omega/k^{(r)}$ i $\omega/k^{(l)}$. Dwie spolaryzowane kołowo fale po wyjściu z płytki krystalicznej o grubości d tworzą znów jedną falę, której polaryzację określa wektor

$$\begin{aligned} & \vec{e}_1 \cdot [\cos(k^{(l)}d - \omega t) + \cos(k^{(r)}d - \omega t)] \\ & - \vec{e}_2 \cdot [\sin(k^{(l)}d - \omega t) - \sin(k^{(r)}d - \omega t)] \\ & = 2 \cos\left[\left(\frac{k^{(r)} + k^{(l)}}{2}\right) \cdot d - \omega t\right] \cdot \\ & \times \left[\vec{e}_1 \cdot \cos\left(\frac{k^{(l)} - k^{(r)}}{2}d\right) - \vec{e}_2 \cdot \sin\left(\frac{k^{(l)} - k^{(r)}}{2}d\right) \right] \end{aligned} \quad (IV.4.27)$$

Biorąc pod uwagę, że

$$\begin{aligned} \frac{k^{(l)} - k^{(r)}}{2} &= \frac{\omega}{2c}(n_2 - n_1) = \frac{\omega}{2c} \cdot |G_{33}| \cdot n_o^3 = \frac{\pi n_o^3 |G_{33}|}{\lambda}, \\ \frac{k^{(l)} + k^{(r)}}{2} &= \frac{\omega}{2c}(n_2 + n_1) = \frac{\omega \cdot n_o}{c}, \end{aligned}$$

ze wzoru (IV.4.27) dla wektora polaryzacji fali na wyjściu z kryształu otrzymujemy

$$\left(\vec{e}_1 \cdot \cos\psi - \vec{e}_2 \cdot \sin\psi \right) \cdot \cos\left[\omega \cdot \left(t - \frac{n_o d}{c} \right) \right], \quad (IV.4.28)$$

gdzie

$$\psi = \frac{\pi n_o^3 |G_{33}|}{\lambda} \cdot d. \quad (IV.4.29)$$

Ze wzoru (IV.4.28) wynika, że spolaryzowana wzdłuż osi Ox_1 fala po wyjściu z kryształu znów będzie płasko spolaryzowana. Jednak kierunek polaryzacji fali jest skręcony o kąt ψ w kierunku zgodnym z ruchem wskazówek zegara. Jeżeli skręcenie płaszczyzny polaryzacji, widziane od strony obserwatora jest zgodne z kierunkiem ruchu wskazówek zegara, to skręcanie nazywamy **prawoskrętnym**, a odpowiednie kryształy nazywamy **kryształami prawoskrętnymi**. W przeciwnym przypadku skręcanie płaszczyzny polaryzacji światła nazywamy **lewoskrętnym**, a odpowiednie kryształy nazywamy **lewoskrętnymi**.

Aktywność optyczną różnych kryształów możemy porównać wprowadzając pojęcie **zdolności skręcającej kryształu**. Zdolność skręcająca kryształu δ jest równa skręceniu płaszczyzny polaryzacji światła przypadającemu na jednostkę drogi w danym kryształe

$$\delta = \frac{\psi}{d} = \frac{\pi n_o^3 G_{33}}{\lambda} . \quad (\text{IV.4.30})$$

Tensor G_{jn} , określający zdolności skręcania płaszczyzny polaryzacji światła w kryształach nazywa się **tensorem skręcania**.

Zadania do §IV.4

1. Wykazać, że tensor skręcania G_{jn} jest pseudotensorem drugiego rzędu, czyli przy przejściu od jednego układu współrzędnych do drugiego składowe tego tensora transformują się zgodnie z prawem

$$G_{i'j'} = \pm \alpha_{i'i} \alpha_{j'j} G_{ij} .$$

2. Wykazać, że kryształ, w którym występuje środek symetrii, nie może być optycznie aktywny.

3. Udowodnić, że tensor skręcania G_{jn} w kryształach klasy m przy $Ox_2 \perp m$ ma postać

$$\begin{bmatrix} 0 & G_{12} & 0 \\ G_{12} & 0 & G_{23} \\ 0 & G_{23} & 0 \end{bmatrix} .$$

4. Wykazać, że jedna z głównych osi tensora skręcania G_{jn} w kryształach klasy m leży w płaszczyźnie symetrii, a dwie drugie osi tworzą kąt 45° z płaszczyzną symetrii. Udowodnić również, że tensor w układzie swoich osi głównych ma postać

$$\begin{bmatrix} +\sqrt{G_{12}^2 + G_{23}^2} & 0 & 0 \\ 0 & -\sqrt{G_{12}^2 + G_{23}^2} & 0 \\ 0 & 0 & 0 \end{bmatrix} .$$

5. Rozważyć optyczną aktywność kryształu jednoosiowego w przypadku gdy kierunek rozchodzenia się fali nie pokrywa się z kierunkiem osi optycznej. Wykazać, że w tym przypadku w kryształach rozchodzą się dwie fali spolaryzowane eliptycznie.